

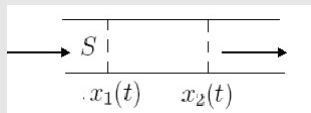
有限差分法

案例 3: 一维激波管问题

舒适 魏华祎 易年余 岳孝强

- 1 一维激波管问题
- 背景问题与数学建模
 - 一维声波方程的若干理论
 - 有限差分方法
 - 算法设计与数值实验
 - 理论分析

设流体在一直长细管内流动, 细管的截面积为 S .



将 x 轴的正向取为水平方向向右, 设密度函数 ρ 、速度函数 u 和压力函数 p 仅与时间变量 t 和空间变量 x 有关, 即

$$\rho = \rho(x, t), \quad u = u(x, t), \quad p = p(x, t)$$

采用微元法进行分析.

考虑时间微元 $I := [t, t + \Delta t]$; 对任意给定的时间 $\zeta \in I$, 考虑微元

$$\Omega(\zeta) := [x_1(\zeta), x_2(\zeta)] \times S$$

下面利用质量、动量和能量守恒定律, 建立数学模型.

重要恒等式

对任意一阶连续可微函数 $f(x, t)$, 有恒等式

$$\frac{d}{dt} \left(\int_{x_1(t)}^{x_2(t)} f dx \right) = \int_{x_1(t)}^{x_2(t)} \left[\frac{\partial f}{\partial t} + \frac{\partial(fu)}{\partial x} \right] dx \quad (1)$$



质量守恒方程

质量守恒定律：控制体 I 中质团的质量不变，即

$$\frac{d}{dt} \left(S \int_{x_1(t)}^{x_2(t)} \rho dx \right) = 0 \Leftrightarrow \frac{d}{dt} \left(\int_{x_1(t)}^{x_2(t)} \rho dx \right) = 0$$

\Rightarrow (利用 (1))

$$\int_{x_1(t)}^{x_2(t)} \left[\frac{\partial \rho}{\partial t} + \frac{\partial(\rho u)}{\partial x} \right] dx = 0$$

由 $x_1(t), x_2(t)$ 的任意性，可得质量守恒方程：

$$\frac{\partial \rho}{\partial t} + \frac{\partial(\rho u)}{\partial x} = 0 \quad (2)$$

动量守恒(运动)方程

动量守恒定律: 合力做的冲量=动量的变化

质团的界面 $x_1(t)$ 和 $x_2(t)$ 处的压力差产生的冲量为

$$\Delta t \cdot S(p(x_1(t), t) - p(x_2(t), t)) = -\Delta t \cdot S \int_{x_1(t)}^{x_2(t)} \frac{\partial p}{\partial x} dx$$

质团的动量 $S \int_{x_1(t)}^{x_2(t)} \rho u dx$ 的变化为

$$S \left(\int_{x_1(t+\Delta t)}^{x_2(t+\Delta t)} \rho u dx - \int_{x_1(t)}^{x_2(t)} \rho u dx \right)$$

所以由动量守恒定律可知

$$-\Delta t \int_{x_1(t)}^{x_2(t)} \frac{\partial p}{\partial x} dx = \int_{x_1(t+\Delta t)}^{x_2(t+\Delta t)} \rho u dx - \int_{x_1(t)}^{x_2(t)} \rho u dx$$

令 $\Delta t \rightarrow 0$, 则有

$$-\int_{x_1(t)}^{x_2(t)} \frac{\partial p}{\partial x} dx = \frac{d(\int_{x_1(t)}^{x_2(t)} \rho u dx)}{dt}$$

利用 (1) (其中 $f := \rho u$), 则可得

$$\int_{x_1(t)}^{x_2(t)} \left[\frac{\partial(\rho u)}{\partial t} + \frac{\partial(\rho u^2 + p)}{\partial x} \right] dx = 0$$

由 $x_1(t)$ 和 $x_2(t)$ 的任意性, 可得动量守恒方程

$$\frac{\partial(\rho u)}{\partial t} + \frac{\partial(\rho u^2 + p)}{\partial x} = 0 \quad (3)$$

能量方程

能量守恒定律：外力所作的功=能量的变化率

压力 $p(x_1(t), t)$ 和 $p(x_2(t), t)$ 对质团所作的功为

$$p(x_1(t), t) \cdot S \cdot u(x_1(t), t) - p(x_2(t), t) \cdot S \cdot u(x_2(t), t) = -S \int_{x_1(t)}^{x_2(t)} \frac{\partial(pu)}{\partial x} dx$$

注意单位质量流体所含的能量

$$E = e + \frac{1}{2}u^2$$

其中, e 为内能, $\frac{1}{2}u^2$ 为动能. 所以质团总能量为

$$\int_{x_1(t)}^{x_2(t)} S \rho E dx = S \int_{x_1(t)}^{x_2(t)} \rho E dx$$

由能量守恒定律, 有

$$-\int_{x_1(t)}^{x_2(t)} \frac{\partial(\rho u)}{\partial x} dx = \frac{d}{dt} \int_{x_1(t)}^{x_2(t)} \rho E dx$$

利用 (1), 有

\Rightarrow

$$\int_{x_1(t)}^{x_2(t)} \left(\frac{\partial(\rho E)}{\partial t} + \frac{\partial(u(\rho E + p))}{\partial x} \right) dx = 0.$$

\Rightarrow 能量守恒方程

$$\frac{\partial(\rho E)}{\partial t} + \frac{\partial(u(\rho E + p))}{\partial x} = 0 \quad (4)$$

联立(2), (3) 和 (4), 可得

$$\begin{aligned}\frac{\partial \rho}{\partial t} + \frac{\partial(\rho u)}{\partial x} &= 0 \\ \frac{\partial(\rho u)}{\partial t} + \frac{\partial(\rho u^2 + p)}{\partial x} &= 0 \\ \frac{\partial(\rho E)}{\partial t} + \frac{\partial(u(\rho E + p))}{\partial x} &= 0\end{aligned}$$

为了求解出 ρ, u, p, E 四个未知量, 还需要加入状态方程. 特别对理想气体其状态方程为

$$p = (\gamma - 1)\rho e$$

. 其中 $\gamma > 1$ 表绝热指数 (比热比).

若还是完全理想气体均熵(或等熵)流, 则由热力学关系式, 有

$$de + pdv = 0$$

利用上式和状态方程, 可得

$$\frac{dp}{p} = -\gamma \frac{dv}{v} \Leftrightarrow p = cv^{-\gamma} = c\rho^{\gamma}$$

其中 c 为一正常数.

由此, 并联立连续性和运动方程, 则流体方程可简化为

$$\begin{cases} \frac{\partial \rho}{\partial t} + \frac{\partial(\rho u)}{\partial x} = 0 \\ \frac{\partial(\rho u)}{\partial t} + \frac{\partial}{\partial x}(\rho u^2 + p) = 0 \\ p = c\rho^\gamma \end{cases}$$

经简单推导知：上述前两式等价于

$$\begin{cases} \frac{\partial \rho}{\partial t} + u \frac{\partial \rho}{\partial x} + \rho \frac{\partial u}{\partial x} = 0 \\ \frac{\partial u}{\partial t} + u \frac{\partial u}{\partial x} + \frac{1}{\rho} \frac{dp}{d\rho} \frac{\partial \rho}{\partial x} = 0 \end{cases}$$

令声速 $c = \sqrt{p'(\rho)}$, 则上式可改写为

$$\begin{cases} \frac{\partial \rho}{\partial t} + u \frac{\partial \rho}{\partial x} + \rho \frac{\partial u}{\partial x} = 0 \\ \frac{\partial u}{\partial t} + u \frac{\partial u}{\partial x} + \frac{1}{\rho} c^2 \frac{\partial \rho}{\partial x} = 0 \end{cases}$$

进一步, 假设:

a) 管内流体是均匀气体且是静止的, 即

$$u(x, 0) = 0, \quad \rho(x, 0) = \rho_0, \quad c(x, 0) = c_0$$

均为常数;

b) 气体做微小扰动;

则通过作扰动分析, 可导出如下一维声波方程

$$\begin{cases} \frac{\partial \rho}{\partial t} + \rho_0 \frac{\partial u}{\partial x} = 0 \\ \frac{\partial u}{\partial t} + \frac{c_0^2}{\rho_0} \frac{\partial \rho}{\partial x} = 0 \end{cases} \quad (5)$$

\Leftrightarrow

$$\frac{\partial U}{\partial t} + A \frac{\partial U}{\partial x} = 0 \quad (6)$$

其中

$$A = \begin{pmatrix} 0 & \frac{c_0^2}{\rho_0} \\ \rho_0 & 0 \end{pmatrix}, \quad U = \begin{pmatrix} u \\ \rho \end{pmatrix} \quad (7)$$

关于一维声波方程的初边值问题提法, 以及相应适定性理论, 后面将做专题讨论.

特征与 Riemann 不变量

考虑一维声波方程 (6).

由于 A 的两个特征值

$$\lambda_1 = -c_0, \quad \lambda_2 = c_0$$

所以 (6) 是 (狭义) 双曲方程组.

λ_1 和 λ_2 所对应的左特征行向量分别为

$$\alpha_1 = (\rho_0, -c_0), \quad \alpha_2 = (\rho_0, c_0)$$

将 $\alpha_i, i = 1, 2$ 作用于方程 (6) 两端, 得

$$\alpha_i \frac{\partial U}{\partial t} + \alpha_i A \frac{\partial U}{\partial x} = 0$$

\Leftrightarrow

$$\alpha_i \frac{\partial U}{\partial t} + \lambda_i \alpha_i \frac{\partial U}{\partial x} = 0$$

\Leftrightarrow

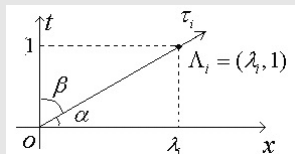
$$\alpha_i \left(\frac{\partial U}{\partial t} + \lambda_i \frac{\partial U}{\partial x} \right) = 0 \quad (8)$$

令特征方向:

$$\Lambda_i := (\lambda_i, 1), \quad i = 1, 2$$

则单位特征方向

$$\tau_i := \frac{\Lambda_i}{|\Lambda_i|} = \frac{1}{\sqrt{\lambda_i^2 + 1}} (\lambda_i, 1) := (\cos \alpha, \cos \beta)$$



注意

$$\begin{aligned}
 \frac{\partial U}{\partial \tau_i} &= \cos \alpha \frac{\partial U}{\partial x} + \cos \beta \frac{\partial U}{\partial t} \\
 &= \left(\frac{\partial U}{\partial x}, \frac{\partial U}{\partial t} \right) (\cos \alpha, \cos \beta)^T \\
 &= \left(\frac{\partial U}{\partial x}, \frac{\partial U}{\partial t} \right) \frac{(\Lambda_i)^T}{|\Lambda_i|} \\
 &= \frac{1}{|\Lambda_i|} \left(\lambda_i \frac{\partial U}{\partial x} + \frac{\partial U}{\partial t} \right)
 \end{aligned}$$

\Leftrightarrow

$$\frac{\partial U}{\partial t} + \lambda_i \frac{\partial U}{\partial x} = |\Lambda_i| \frac{\partial U}{\partial \tau_i}$$

由此, 并结合 (8), 可得

$$\alpha_i \frac{\partial U}{\partial \tau_i} = 0, \quad i = 1, 2$$

\Leftrightarrow

$$\frac{\partial r_i}{\partial \tau_i} = 0, \quad i = 1, 2 \quad (9)$$

其中

$$r_1 = \alpha_1 U = \rho_0 u - c_0 \rho, \quad r_2 = \alpha_2 U = \rho_0 u + c_0 \rho \quad (10)$$

由 (9) 可知:

① 当 (x, t) 落在斜率为

$$\frac{dt}{dx} = \frac{1}{\lambda_1} = -\frac{1}{c_0}$$

的某条特征线时 r_1 为常数.

② 当 (x, t) 落在斜率为

$$\frac{dt}{dx} = \frac{1}{\lambda_2} = \frac{1}{c_0}$$

的某条特征线时 r_2 为常数.

称由 (10) 定义的 r_1, r_2 为一维声波方程 (6) 的 **Riemann 不变量**.

利用上述 Riemann 不变量

$$r_1(x_0, t_0) = \rho_0 u - c_0 \rho, \quad r_2(x_0, t_0) = \rho_0 u + c_0 \rho$$

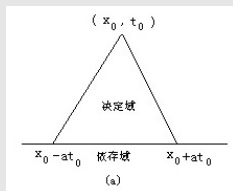
可得过 (x_0, t_0) 的两条特征线

$$\frac{t - t_0}{x - x_0} = \mp \frac{1}{c_0} \Rightarrow t = \mp \frac{1}{c_0}(x - x_0) + t_0$$

令

$$a := c_0$$

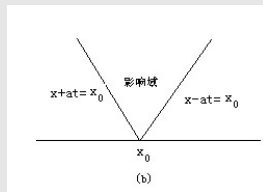
则有



依存域: u 在点 (x_0, t_0) 处的值仅依赖于初值函数 $\phi_0(x)$, $\phi_1(x)$ 在该 (局部) 区间 $[x_0 - at_0, x_0 + at_0]$ 的值, 与区间外的初值无关, 故称 $[x_0 - at_0, x_0 + at_0]$ 为点 (x_0, t_0) 的依存域. (见上图(a))

说明了双曲型方程的重要特征: **解的局部依赖性**; 利用该特性知: $t = t_n$ 时间层上的某个空间点 x_j 的数值解只与 $t = t_{n-1}$ 上的 x_j 的小邻域上的值有关, 并且时间步长越小, 该小邻域就越小.

决定域: 区间 $[x_0 - at_0, x_0 + at_0]$ 上的初值不仅确定 $u(x_0, t_0)$, 而且确定了 u 在以 $(x_0 - at_0, 0)$, $(x_0 + at_0, 0)$, (x_0, t_0) 为顶点的三角形域内的值, 故称此三角形域为区间 $[x_0 - at_0, x_0 + at_0]$ 的决定域. (见上图(a))



影响域: 对于 x 轴上任一点 $(x_0, 0)$, 依存域包含 $(x_0, 0)$ 的一切点 (x, t) 的集合是以 $(x_0, 0)$ 为顶点, 过该点的特征 $x - at = x_0$ 和 $x + at = x_0 (t > 0)$ 为边的角形域, 称之为 $(x_0, 0)$ 的影响域. (见上图(b))

可见: 初值函数在 $(x_0, 0)$ 处的值, 随着时间 t 的增大, 在 t 时间层的影响区间越来越大.

初边值问题的适定性

考虑一维声波方程的初边值问题

$$\begin{cases} \frac{\partial U}{\partial t} + A \frac{\partial U}{\partial x} = 0, & (x, t) \in G \\ U(x, 0) = U_0(x) = (0, \rho_0)^T, & 0 \leq x \leq 1 \\ U(0, t) = ?, & U(1, t) = ? \end{cases} \quad (11)$$

其中, A 由 (7) 定义, 求解域 $G = (0, 1) \times (0, T)$.

问: 在什么样的边界条件下, 初边值问题(11) 是适定的.

下面利用特征与 Riemann 不变量理论回答之.

初边值问题的适定性

注意 对于任一点 $P(x, t)$, 有

- ① 在过该点且斜率为

$$\frac{dt}{dx} = \frac{1}{\lambda_1} = -\frac{1}{c_0}$$

的特征线 1 上, $r_1 = \rho_0 u - c_0 \rho$ 为常数.

- ② 在过该点且斜率为

$$\frac{dt}{dx} = \frac{1}{\lambda_2} = \frac{1}{c_0}$$

的特征线 2 上, $r_2 = \rho_0 u + c_0 \rho$ 为常数.

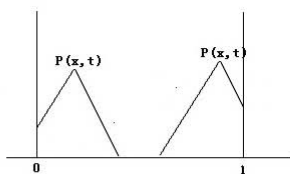
初边值问题的适定性

由于当点 $P(x, t)$ 充分靠近左边界时, 过该点的特征线 2 穿过左边界, 所以为了使得问题适定, 需要在左边界上加上限制条件

$$r_2 = \rho_0 u + c_0 \rho = \text{已知值}$$

同理, 为了使得问题适定, 需要在右边界上加上限制条件

$$r_1 = \rho_0 u - c_0 \rho = \text{已知值}$$



初边值问题的适定性

综上所述: 一维声波方程初边值问题

$$\left\{ \begin{array}{l} \frac{\partial U}{\partial t} + A \frac{\partial U}{\partial x} = 0, \quad (x, t) \in G \\ U(x, 0) = U_0(x) = (0, \rho_0)^T \\ r_2(0, t) = \text{已知值} \\ r_1(1, t) = \text{已知值} \end{array} \right. \quad (12)$$

满足适定性.

附加页 1

问题: 考虑波动方程初值问题

$$\frac{\partial^2 u}{\partial t^2} - a^2 \frac{\partial^2 u}{\partial x^2} = 0, \quad -\infty < x < \infty, \quad t > 0 \quad (13)$$

$$u(x, 0) = \phi_0(x), \quad u_t(x, 0) = \phi_1(x), \quad -\infty < x < \infty \quad (14)$$

其中 $a > 0$ 是常数. 试利用特征与 Riemann 不变量理论, 推导 D'Alembert 公式

$$u(x, t) = \frac{1}{2}[\phi_0(x - at) + \phi_0(x + at)] + \frac{1}{2a} \int_{x-at}^{x+at} \phi_1(\xi) d\xi \quad (15)$$

附加页 2

1) 若令 $U = (v, w)^T$, 其中

$$v = \frac{\partial u}{\partial t}, \quad w = a \frac{\partial u}{\partial x}$$

则波动方程写为如下一阶偏微分方程组

$$A = \begin{pmatrix} 0 & a \\ a & 0 \end{pmatrix}$$

则波动方程 (13) 可改写为

$$\frac{\partial U}{\partial t} - A \frac{\partial U}{\partial x} = 0 \quad (16)$$

附加页 3

2) A 的两个特征值为 $\lambda_1 = -a$, $\lambda_2 = a$, 其相应的左特征行向量分别为

$$\alpha_1 = (1, -1), \quad \alpha_2 = (1, 1)$$

3) 两个 **Riemann 不变量** $r_1 = v - w$, $r_2 = v + w$ 满足

① 当 (x, t) 落在斜率为 $\frac{dt}{dx} = -\frac{1}{a}$ 的特征线时, $r_1 = v - w$ 为常数.

② 当 (x, t) 落在斜率为 $\frac{dt}{dx} = \frac{1}{a}$ 的特征线时, $r_2 = v + w$ 为常数.

附加页 4

由此知

$$r_1(x, t) = r_1(x + at, 0), \quad r_2(x, t) = r_2(x - at, 0)$$

\Leftrightarrow (利用 (14))

$$(\partial_t u + a \partial_x u)(x, t) = (\partial_t u + a \partial_x u)(x + at, 0) = \phi_1(x + at) + a \phi_0'(x + at)$$

and

$$(\partial_t u - a \partial_x u)(x, t) = (\partial_t u - a \partial_x u)(x - at, 0) = \phi_1(x - at) - a \phi_0'(x - at)$$

\Rightarrow (将上述两式相加)

附加页 5

$$2\partial_t u(x, t) = [\phi_1(x + at) + \phi_1(x - at)] + a[\phi'_0(x + at) - \phi'_0(x - at)]$$

\Rightarrow (上式两边在 $[0, t]$ 上积分, 注意 $u(x, 0) = \phi_0(x)$)

$$\begin{aligned} 2u(x, t) - 2\phi_0(x) &= \int_0^t [\phi_1(x + a\tau) + \phi_1(x - a\tau)] d\tau \\ &\quad + a \int_0^t [\phi'_0(x + a\tau) - \phi'_0(x - a\tau)] d\tau \end{aligned} \quad (17)$$

注意

附加页 6

$$\int_0^t \phi_1(x + a\tau) d\tau = \frac{1}{a} \int_x^{x+at} \phi_1(\xi) d\xi$$

and

$$\begin{aligned} \int_0^t \phi_1(x - a\tau) d\tau &= -\frac{1}{a} \int_x^{x-at} \phi_1(\xi) d\xi \\ &= \frac{1}{a} \int_{x-at}^x \phi_1(\xi) d\xi \end{aligned}$$

 \Rightarrow

$$\int_0^t [\phi_1(x + a\tau) + \phi_1(x - a\tau)] d\tau = \frac{1}{a} \int_{x-at}^{x+at} \phi_1(\xi) d\xi \quad (18)$$

又注意

附加页 7

$$a \int_0^t \phi'_0(x + a\tau) d\tau = \int_x^{x+at} \phi'_0(\xi) d\xi = \phi_0(x + at) - \phi_0(x)$$

and

$$-a \int_0^t \phi'_0(x - a\tau) d\tau = \int_x^{x-at} \phi'_0(\xi) d\xi = \phi_0(x - at) - \phi_0(x)$$

\Rightarrow

$$\begin{aligned} a \int_0^t [\phi'_0(x + a\tau) - \phi'_0(x - a\tau)] d\tau &= [\phi_0(x + at) + \phi_0(x - at)] \\ &\quad - 2\phi_0(x) \end{aligned} \quad (19)$$

将 (18) 和 (19) 代入 (17) 即证得 D'Alembert 公式 (15) 成立.

向量型声波方程到标量型方程的转化

由 (9) 知: 向量型一维声波方程 (6) 的两个 Riemann 不变量满足

$$\frac{\partial r_i}{\partial \tau_i} = 0 \Leftrightarrow \frac{1}{\sqrt{\lambda_i^2 + 1}} \left(\lambda_i \frac{\partial r_i}{\partial x} + \frac{\partial r_i}{\partial t} \right) = 0$$

\Leftrightarrow

$$\frac{\partial r_i}{\partial t} + \lambda_i \frac{\partial r_i}{\partial x} = 0$$

其中 $\lambda_{1,2} = \mp c_0$ 为常量.

由此可知: 向量型一维声波方程初边值问题(12), 可化为如下两个独立的标量型双曲方程

$$\begin{cases} \frac{\partial r_1}{\partial t} - c_0 \frac{\partial r_1}{\partial x} = 0 \\ r_1(x, 0) = \rho_0 u(x, 0) - c_0 \rho(x, 0) = -c_0 \rho_0 \\ r_1(1, t) = \text{已知值} \end{cases} \quad (20)$$

和

$$\begin{cases} \frac{\partial r_2}{\partial t} + c_0 \frac{\partial r_2}{\partial x} = 0 \\ r_2(x, 0) = \rho_0 u(x, 0) + c_0 \rho(x, 0) = c_0 \rho_0 \\ r_2(0, t) = \text{已知值} \end{cases} \quad (21)$$

结论: 向量型一维声波方程的求解问题, 可本质性地转换为如下标量型一阶双曲型方程的求解.

$$\begin{cases} \frac{\partial u}{\partial t} + a \frac{\partial u}{\partial x} = 0, (x, t) \in G \\ u(x, 0) = u_0(x) \\ u(0, t) = \phi_0(t), \text{ 如果 } a > 0; u(1, t) = \phi_1(t), \text{ 如果 } a < 0 \end{cases} \quad (22)$$

其中, 求解域 $G := \{(x, t) : 0 < x < 1; 0 < t \leq T\}$, u_0, ϕ_0, ϕ_1 为已知函数,

常量 $a \leftrightarrow$ 特征值 λ_i ; 方向 $(a, 1) \leftrightarrow$ 特征方向 $(\lambda_i, 1)$

函数 $u \leftrightarrow$ Riemann 不变量 r_i , 其在平行于特征方向 $(a, 1)$ 的特征线上为常量.

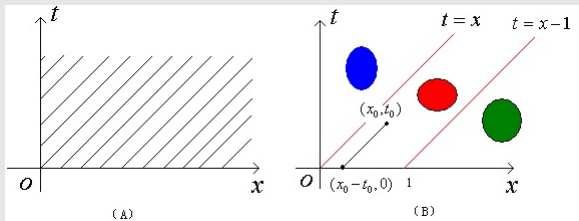
例 1: 试证明混合问题

$$\begin{cases} \frac{\partial u}{\partial t} + \frac{\partial u}{\partial x} = 0, & 0 < x < 2, \quad t > 0 \\ u(x, 0) = |x - 1|, & u(0, t) = 1 \end{cases} \quad (23)$$

的真解为: 对 $\forall t > 0$, 有

$$u(x, t) = \begin{cases} 1, & x \leq t, \\ 1 - (x - t), & t < x \leq t + 1, \\ (x - t) - 1, & x > t + 1 \end{cases} \quad (24)$$

证明. 注意: 特性方向为 $(1, 1)$, 下图 (A) 给出了平行于特征方向的特征线族. 分别记 $t = x$ 和 $t = x - 1$ 为直线 1 和 直线 2, 下图 (B) 给出了由这两条直线划分的三个子区域.



利用 u 在特征线上为常量, 则对 $\forall t_0 > 0$, 有

$$u(x_0, t_0) = \begin{cases} u(0, t_0) = 1, & x_0 \leq t_0, \\ u(x_0 - t_0, 0) = 1 - (x_0 - t_0), & t_0 < x_0 \leq t_0 + 1, \\ u(x_0 - t_0, 0) = (x_0 - t_0) - 1, & x_0 > t_0 + 1, \end{cases}$$

习题 试求下列混合问题的解 (右边界条件)

$$\begin{cases} \frac{\partial u}{\partial t} - \frac{\partial u}{\partial x} = 0, & -\infty < x < 0, \quad t > 0 \\ u(x, 0) = |x + 1| & u(0, t) = 1 \end{cases}$$

直接差分化方法

下面讨论求解一阶双曲型方程 (22) 的有限差分格式.

对求解域 $G = (0, 1) \times (0, T]$ 作均匀网格剖分.

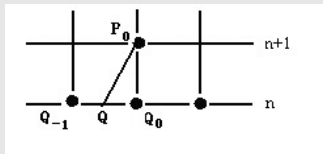
节点:

$$x_j = jh, \quad j = 0, 1, \dots, N$$

$$t_k = k\tau, \quad k = 0, 1, \dots, M$$

其中空间和时间步长: $h = \frac{1}{N}$, $\tau = \frac{T}{M}$.

讨论 u 在网格节点 $P_0 := (x_j, t_{n+1})$ 处的计算公式. 由下图

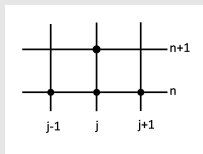


有

$$u(P_0) = u(Q)$$

注意 $|QQ_0| = rh$, 其中网比 $r = a \frac{\tau}{h}$.

利用第 n 个时间层上, 关于两个不同模板点的线性插值公式, 可得如下三种显式公式:



$$u_j^{n+1} = ru_{j-1}^n + (1-r)u_j^n \quad (25)$$

$$u_j^{n+1} = (1+r)u_j^n - ru_{j+1}^n \quad (26)$$

$$u_j^{n+1} = u_j^n + \frac{r}{2}(u_{j-1}^n - u_{j+1}^n) \quad (27)$$

差分格式 (25) 与特征走向有关, 按照气体力学的含义 (a 表示气流速度), 称之为迎风格式.

公式 (25), (26) 和 (27) 分别等价于

$$\frac{u_j^{n+1} - u_j^n}{\tau} + a \frac{u_j^n - u_{j-1}^n}{h} = 0 \quad \text{如果 } a > 0, \text{ 为迎风格式} \quad (28)$$

$$\frac{u_j^{n+1} - u_j^n}{\tau} + a \frac{u_{j+1}^n - u_j^n}{h} = 0 \quad \text{如果 } a < 0, \text{ 为迎风格式} \quad (29)$$

$$\frac{u_j^{n+1} - u_j^n}{\tau} + a \frac{u_{j+1}^n - u_{j-1}^n}{2h} = 0 \quad (30)$$

截断误差分别为

$$O(\tau + h), \quad O(\tau + h), \quad O(\tau + h^2)$$

用同样的思想可构造变系数方程

$$\frac{\partial u}{\partial t} + a(x) \frac{\partial u}{\partial x} = 0$$

的差分格式. 此时 a 可能变号, 因此相应的迎风格式为

$$\begin{cases} \frac{u_j^{n+1} - u_j^n}{\tau} + a_j \frac{u_j^n - u_{j-1}^n}{h} = 0, & a_j \geq 0 \\ \frac{u_j^{n+1} - u_j^n}{\tau} + a_j \frac{u_{j+1}^n - u_j^n}{h} = 0, & a_j < 0 \end{cases} \quad (31)$$

其中 $a_j = a(x_j)$.

积分守恒差分格式

考察拟线性守恒型 (或散度型) 微分方程:

$$\frac{\partial u}{\partial t} + \frac{\partial f(u)}{\partial x} = 0 \quad (32)$$

设 G 是 x, t 平面任一有界域, 利用 Green 公式, 有(其中 $\Gamma = \partial G$)

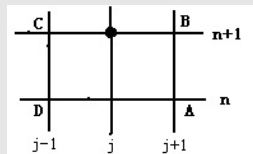
$$\int_G \left(\frac{\partial u}{\partial t} + \frac{\partial f(u)}{\partial x} \right) dx dt = \int_{\Gamma} (f(u), u) \cdot \vec{n} ds = 0$$

\Leftrightarrow

$$\int_{\Gamma} (f(u), u) \cdot \vec{n} ds = 0 \quad (33)$$

(1) Lax 格式 (显格式)

设网格如下图所示



取 G 为以 $A(j+1, n)$, $B(j+1, n+1)$, $C(j-1, n+1)$ 和 $D(j-1, n)$ 为顶点的矩形, $\Gamma = \widehat{ABCD}$ 为其边界.

则由 (33), 有

$$\left(\int_{DA} + \int_{AB} + \int_{BC} + \int_{CD}\right)(f(u), u) \cdot \vec{n} ds = 0 \quad (34)$$

注意在直线 DA 上 $\vec{n} = (0, -1)$, 所以

$$\int_{DA} (f(u), u) \cdot \vec{n} ds = \int_{DA} (f(u), u) \cdot (0, -1) ds = - \int_{DA} u ds$$

类似的可得

$$\begin{aligned} \int_{AB} (f(u), u) \cdot \vec{n} ds &= \int_{AB} (f(u), u) \cdot (1, 0) ds = \int_{AB} f(u) ds \\ \int_{BC} (f(u), u) \cdot \vec{n} ds &= \int_{BC} (f(u), u) \cdot (0, 1) ds = \int_{BC} u ds \\ \int_{CD} (f(u), u) \cdot \vec{n} ds &= \int_{CD} (f(u), u) \cdot (-1, 0) ds = - \int_{CD} f(u) ds \end{aligned}$$

这样由 (34) 可得

$$-\int_{DA} u ds + \int_{AB} f(u) ds + \int_{BC} u ds - \int_{CD} f(u) ds = 0 \quad (35)$$

对 (35) 的左端各个积分项分别采用如下数值积分公式:

$$\begin{aligned} \int_{DA} u ds &\approx \frac{1}{2}(u_{j+1}^n + u_{j-1}^n) \cdot 2h, & \int_{BC} u ds &\approx u_j^{n+1} \cdot 2h \\ \int_{AB} f(u) ds &\approx f(u_{j+1}^n) \cdot \tau, & \int_{CD} f(u) ds &\approx f(u_{j-1}^n) \cdot \tau \end{aligned}$$

将上述近似式代入 (35), 则可得 **Lax (Lax-Friedrichs) 格式**

$$\frac{u_j^{n+1} - \frac{1}{2}(u_{j+1}^n + u_{j-1}^n)}{\tau} + \frac{f_{j+1}^n - f_{j-1}^n}{2h} = 0$$

它可改写为 (其中 $f_j^n = f(x_j, u_j^n)$, $r = \frac{\tau}{h}$)

$$u_j^{n+1} = \frac{1}{2}(u_{j+1}^n + u_{j-1}^n) - \frac{r}{2}(f_{j+1}^n - f_{j-1}^n) \quad (36)$$

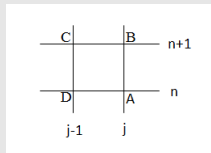
可以证明 Lax-Friedrichs 格式截断误差的阶为

$$O(\tau + h^2)$$

特别当 $f(u) = au$ 时, 可得到一阶双曲型方程 (22) 的 Lax 格式.

(2) Box 格式 (隐格式)

取 G 为以 $A(j, n)$, $B(j, n+1)$, $C(j-1, n+1)$ 和 $D(j-1, n)$ 为顶点的矩形, 记 $\Gamma = \widehat{ABCD}$ 为其边界.



则由 (33), 及类似于Lax 格式的推导 (各项积分均用梯形公式进行近似), 可得

$$\frac{u_j^{n+1} - u_j^n}{\tau} + \frac{u_{j-1}^{n+1} - u_{j-1}^n}{\tau} + \frac{f_j^n - f_{j-1}^n}{h} + \frac{f_j^{n+1} - f_{j-1}^{n+1}}{h} = 0 \quad (37)$$

其截断误差为 $O(\tau^2 + h^2)$.

黏性差分格式

黏性差分格式的构造分两步.

- 1 通过引入含二阶空间偏导数的小参数项 (称为黏性项), 使双曲型方程成为一带小参数的抛物方程.
- 2 利用中心差商代替导数, 选取小参数 (粘性系数), 建立相应的差分格式.

下面对于线性模型问题 (22), 给出该格式的构造过程.

考虑线性双曲型方程 (22), 引入黏性项使它成为如下带小参数的抛物方程

$$\frac{\partial u}{\partial t} + a \frac{\partial u}{\partial x} = \varepsilon \frac{\partial^2 u}{\partial x^2}, \quad \varepsilon > 0$$

特取 $\varepsilon = \frac{h}{2} |a(x)|$, 并利用中心差商近似关于空间变量的偏导数, 则可得格式

$$\frac{u_j^{n+1} - u_j^n}{\tau} + a_j \frac{u_{j+1}^n - u_{j-1}^n}{2h} = \frac{h}{2} |a_j| \frac{u_{j+1}^n - 2u_j^n + u_{j-1}^n}{h^2}$$

或

$$\begin{cases} \frac{u_j^{n+1} - u_j^n}{\tau} + a_j \frac{u_{j+1}^n - u_{j-1}^n}{2h} = \frac{h}{2} a_j \frac{u_{j+1}^n - 2u_j^n + u_{j-1}^n}{h^2}, & a \geq 0 \\ \frac{u_j^{n+1} - u_j^n}{\tau} + a_j \frac{u_{j+1}^n - u_{j-1}^n}{2h} = -\frac{h}{2} a_j \frac{u_{j+1}^n - 2u_j^n + u_{j-1}^n}{h^2}, & a < 0 \end{cases}$$

容易验证它的等价迎风格式为

$$\begin{cases} \frac{u_j^{n+1} - u_j^n}{\tau} + a \frac{u_j^n - u_{j-1}^n}{h} = 0, & a \geq 0 \\ \frac{u_j^{n+1} - u_j^n}{\tau} + a \frac{u_{j+1}^n - u_j^n}{h} = 0, & a < 0 \end{cases}$$

类似地, 可考虑拟线性守恒型微分方程 (32).

1) 引入黏性项, 使它成为

$$\frac{\partial u}{\partial t} + \frac{\partial f(u)}{\partial x} = \frac{h^2}{2\tau} \frac{\partial^2 u}{\partial x^2}, \quad \varepsilon > 0,$$

利用中心差商近似关于空间变量的偏导数, 则可得到 Lax 格式.

2) 引入黏性项, 使它成为

$$\frac{\partial u}{\partial t} + \frac{\partial f(u)}{\partial x} = \frac{\tau}{2} \frac{\partial}{\partial x} \left(f'(u) \frac{\partial f}{\partial x} \right) \quad (38)$$

利用中心差商近似关于空间变量的偏导数, 则在点 (x_j, t_n) 处有

$$\begin{aligned} \frac{\partial}{\partial x} \left(f'(u) \frac{\partial f}{\partial x} \right) &\approx \frac{(f'(u) \frac{\partial f}{\partial x})_{j+1/2}^n - (f'(u) \frac{\partial f}{\partial x})_{j-1/2}^n}{h} \\ &\approx h^{-1} \frac{f'(u_{j+1/2}^n) (f_{j+1}^n - f_j^n)}{h} - \frac{f'(u_{j-1/2}^n) (f_j^n - f_{j-1}^n)}{h} \\ &\approx h^{-2} \left[a_{j+1/2}^n (f_{j+1}^n - f_j^n) - a_{j-1/2}^n (f_j^n - f_{j-1}^n) \right] \end{aligned}$$

其中

$$a_{l+1/2}^n = f'(\frac{u_{l+1}^n + u_l^n}{2}).$$

这样就得到Lax-wendroff 格式:

$$\frac{u_j^{n+1} - u_j^n}{\tau} + \frac{f_{j+1}^n - f_{j-1}^n}{2h} = \frac{\tau}{2h^2} \left[a_{j+1/2}^n (f_{j+1}^n - f_j^n) - a_{j-1/2}^n (f_j^n - f_{j-1}^n) \right]$$

\Leftrightarrow

$$u_j^{n+1} = u_j^n - \frac{1}{2} \frac{\tau}{h} (f_{j+1}^n - f_{j-1}^n) + \frac{1}{2} \left(\frac{\tau}{h} \right)^2 \left[a_{j+1/2}^n (f_{j+1}^n - f_j^n) - a_{j-1/2}^n (f_j^n - f_{j-1}^n) \right]$$

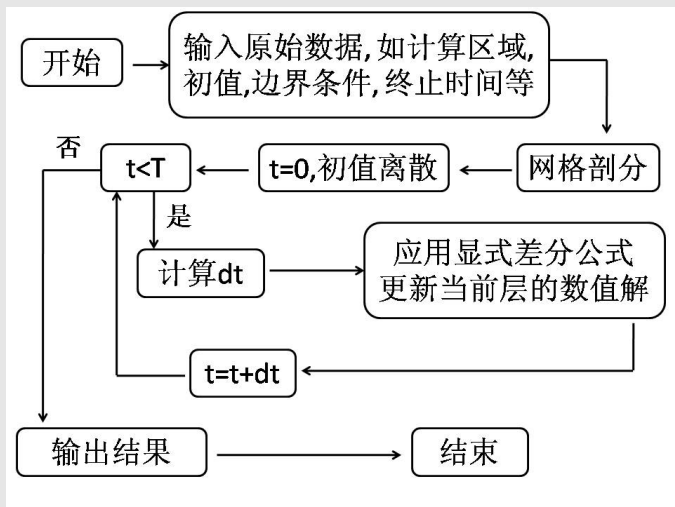
可以证明: 该格式的截断误差为

$$O(\tau^2 + h^2)$$

考虑如下混合问题差分离散的算法实现,

$$\begin{cases} \frac{\partial u}{\partial t} + a \frac{\partial u}{\partial x} = 0, & 0 < x < \infty, \quad t > 0 \\ u(x, 0) = u_0(x), & u(0, t) = \phi(t) \end{cases}$$

显式算法流程



算例：利用有限差分法去求解混合问题的解

$$\begin{cases} \frac{\partial u}{\partial t} + \frac{\partial u}{\partial x} = 0, & 0 < x < 2, \quad t > 0 \\ u(x, 0) = |x - 1|, & u(0, t) = 1 \end{cases}$$

其真解为(见前面的例 1)

$$u(x, t) = \begin{cases} 1, & x \leq t, \quad t \geq 0 \\ 1 - x + t, & t < x \leq t + 1, \quad t \geq 0 \\ x - t - 1, & x > t + 1, \quad t \geq 0 \end{cases}$$

该模型的 Matlab 代码如下：

```
function pde = model_data()
% MODEL_DATA 模型数据

TI = 0;
TF = 1;
SI = 0;
SF = 2;

pde = struct('u_exact',@u_exact,'u_initial',@u_initial,...
            'u_left',@u_left,'time_grid',@time_grid,'space_grid',
            @space_grid,'a',1);

function [T,tau] = time_grid(NT)
    T = linspace(TI,TF,NT+1);
    tau = (TF - TI)/NT;
end

function [X,h] = space_grid(NS)
    X = linspace(SI,SF,NS+1)';
    h = (SF - SI)/NS;
end

function U = u_exact(X,T)
    [x,t] = meshgrid(X,T);
    U = zeros(size(x));
    case1 = (x <= t);
    case2 = (x > t+1);
    case3 = ~case1 & ~case2;
```

```
U(case1) = 1;
U(case3) = 1-x(case3)+t(case3);
U(case2) = x(case2) - t(case2) -1;
U = U';
end
function u = u_initial(x)
    u = abs(x-1);
end

function u = u_left(t)
    u = ones(size(t));
end

end
```

显隐迎风格式的 Matlab 实现

```

function [X,T,U] = advection_fd1d(NS,NT,pde,method)
%% WAVE_EQUATION_FD1D 利用有限差分方法计算一维双曲方程
%
% 输入参数:
%     NS 整型, 空间剖分段数.
%     NT 整型, 时间剖分段数.
%     pde 结构体, 待求解的微分方程模型的已知数据,
%         如边界、初始、系数和右端项等条件.
%     method 字符串, 代表求解所用格式
%         'explicit' 或 'e' 或 'E' : 显式迎风格式
%         'inv explicit' 或 'inve' 或 'invE' : 反显式迎风格式
%         'implicit' 或 'i' 或 'I' : 隐式迎风格式
%         'inv implicit' 或 'invi' 或 'invI', 反隐式迎风格式
%         'explicit center' 或 'ec' 或 'EC' : 显式中心格式
%         'implicit center' 或 'ic' 或 'IC' : 隐式中心格式
%         'explicit lax' 或 'el' 或 'EL' : 显式 Lax 格式
%         'explicit laxw' 或 'elw' 或 'ELW' : 显式 Lax windroff 格
%
% 式
%         'leap frog' 或 'lf' 或 'LF' : 跳蛙格式
% 输出参数:

```


显隐迎风格式的 Matlab 实现 ||

```
%      X 长度为  $NS+1$  的列向量, 空间网格剖分
%      T 长度为  $NT+1$  的行向量, 时间网格剖分
%      U ( $NS+1$ )*( $NT+1$ ) 矩阵,  $U(:,i)$  表示第  $i$  个时间层网格部分上的数值解
%
%      作者: 魏华祎 <weihuayy@xtu.edu.cn>

[X,h] = pde.space_grid(NS);
[T,tau] = pde.time_grid(NT);
N = length(X);M = length(T);

U = zeros(N,M);
% 初值条件
U(:,1) = pde.u_initial(X);
a = pde.a;
r = a*tau/h;
% 边值条件
if a >= 0 % 左边值条件
    U(1,:) = pde.u_left(T);
else
    U(end,:) = pde.u_right(T); %右边值条件
```

显隐迎风格式的 Matlab 实现 |||

end

```
%%  
switch(method)  
    case {'explicit','e','E'}  
        explicit();  
    case {'inv_explicit','inve','invE'}  
        inv_explicit();  
    case {'explicit_lax','el','EL'}  
        explicit_lax();  
    case {'explicit_laxw','elw','ELW'}  
        explicit_laxw();  
    case {'implicit','i','I'}  
        implicit();  
    case {'inv_implicit','invi','invI'}  
        inv_implicit();  
    case {'explicit_center','ec','EC'}  
        explicit_center();  
    case {'implicit_center','ic','IC'}
```

显隐迎风格式的 Matlab 实现 IV

```
        implicit_center();
    case {'leap_frog','lf','LF'}
        leap_frog();
    otherwise
        disp(['Sorry, I do not know your ', method]);
end

function explicit()
    for i = 2:M
        if a > 0
            U(2:end,i) = U(2:end,i-1) - r*(U(2:end,i-1) - U(1:
end-1,i-1));
        else
            U(1:end-1,i) = U(1:end-1,i-1) - r*(U(2:end,i-1) -
U(1:end-1,i-1));
        end
    end
end

function inv_explicit()
    for i = 2:M
```

显隐迎风格式的 Matlab 实现 V

```
        if a > 0
            U(2:end-1,i) = U(2:end-1,i-1) - r*(U(3:end,i-1)-U
(2:end-1,i-1));
            U(end,i) = 2*U(end-1,i)-U(end-2,i);
        else
            U(2:end-1,i) = U(2:end-1,i-1) - r*(U(2:end-1,i-1)
- U(1:end-2,i-1));
            U(1,i) = 2*U(2,i) - U(3,i);
        end
    end
end

function explicit_lax()
    for i = 2:M
        U(2:end-1,i) = (U(1:end-2,i) + U(3:end,i-1))/2 - r*(U
(3:end,i-1)-U(1:end-2,i-1))/2;
        if a > 0
            U(end,i) = 2*U(end-1,i)-U(end-2,i);
        else
            U(1,i) = 2*U(2,i) - U(3,i);
        end
    end
end
```

显隐迎风格式的 Matlab 实现 VI

```
end
end

function explicit_laxw()
    for i = 2:M
        U(2:end-1,i) = (U(1:end-2,i) + U(3:end,i-1))/2 - r*(U(3:end,i-1)-U(1:end-2,i-1))/2;
        if a > 0
            U(end,i) = 2*U(end-1,i)-U(end-2,i);
        else
            U(1,i) = 2*U(2,i) - U(3,i);
        end
    end
end

function implicit()
    if a > 0
        d = (1+r)*ones(N-1,1);
        c = -r*ones(N-2,1);
        A = diag(d) + diag(c,-1);
        for i = 2:M
```

显隐迎风格式的 Matlab 实现 VII

```
F = zeros(N-1,1);
F(1) = r*U(1,i);
U(2:end,i) = A\ (U(2:end,i-1)+F);
end
else
d = (1-r)*ones(N-1,1);
c = r*ones(N-2,1);
A = diag(d) + diag(c,1);
for i = 2:M
    F = zeros(N-1,1);
    F(end) = -r*U(end,i);
    U(1:end-1,i) = A\ (U(1:end-1,i-1)+F);
end
end
function explicit_center()
    for i = 2:M
        U(2:end-1,i) = U(2:end-1,i-1) - r*(U(3:end,i-1)-U(1:
end-2,i-1))/2;
        if a > 0
            U(end,i) = 2*U(end-1,i)-U(end-2,i);
```

显隐迎风格式的 Matlab 实现 VIII

```
        else
            U(1,i) = 2*U(2,i) - U(3,i);
        end
    end
end
function implicity_center()

end
function leap_frog()

end

end
```

主测试脚本

```
%% 一维双曲方程有限差分方法主测试脚本 main_test.m
% 依次测试:
%     显格式
%     隐格式
% 并可视化数值计算结果。
%
% 作者: 魏华祎 <weihuayi@xtu.edu.cn>

pde = model_data(); %模型数据结构体

% 迎风显格式
[X,T,U] = advection_fd1d(100,200,pde,'explicit');
UE = pde.u_exact(X,T);
showvargsolution(X,T,U,UE);% 以随时间变化方式显示数值解
showsolution(X,T,U); % 以二元函数方式显示数值解

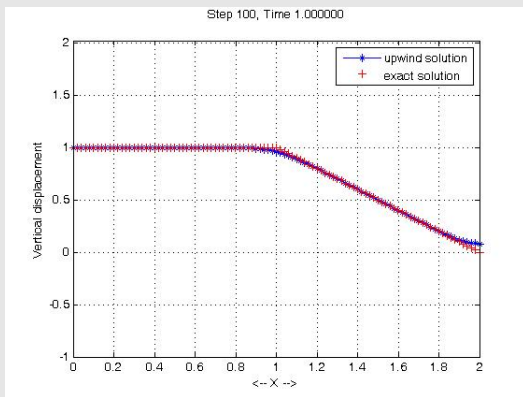
% 反迎风显格式
[X,T,U] = advection_fd1d(100,200,pde,'inv_explicit');
UE = pde.u_exact(X,T);
showvargsolution(X,T,U,UE);% 以随时间变化方式显示数值解
```


主测试脚本

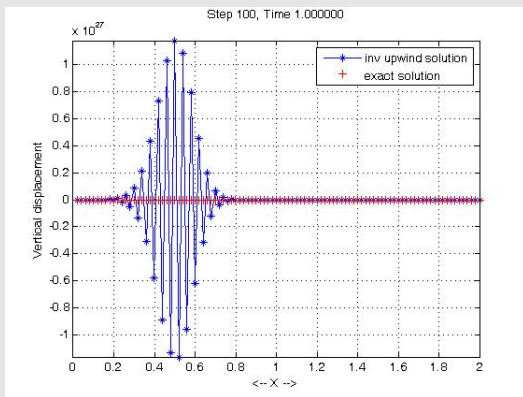
```
% 显式中心格式
[X,T,U] = advection_fd1d(100,200,pde,'explicit_center');
UE = pde.u_exact(X,T);
showvargsolution(X,T,U,UE);% 以随时间变化方式显示数值解

% 显式格式 lax
[X,T,U] = advection_fd1d(100,200,pde,'explicit_lax');
UE = pde.u_exact(X,T);
showvargsolution(X,T,U,UE);% 以随时间变化方式显示数值解

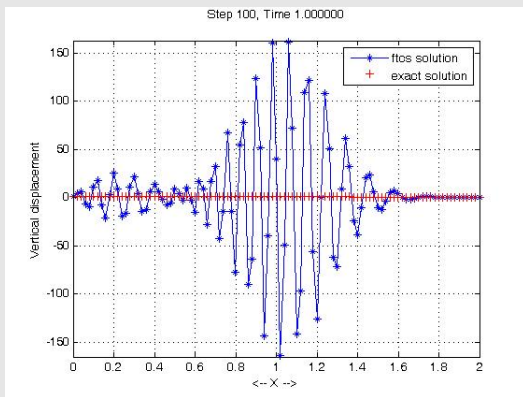
% 隐格式
[X,T,U] = advection_fd1d(100,200,pde,'implicit');
UE = pde.u_exact(X,T);
showvargsolution(X,T,U,UE);% 以随时间变化方式显示数值解
showsolution(X,T,U); % 以二元函数方式显示数值解
```



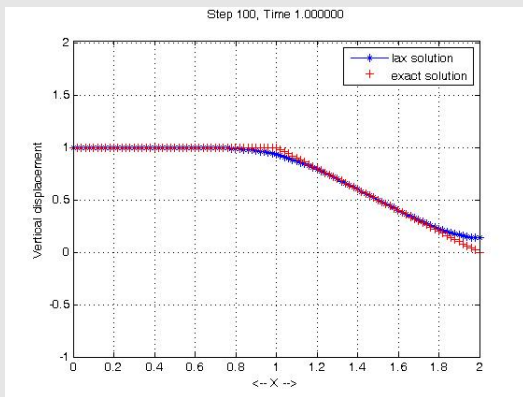
$$\frac{u_j^{n+1} - u_j^n}{\tau} + a \frac{u_j^n - u_{j-1}^n}{h} = 0$$



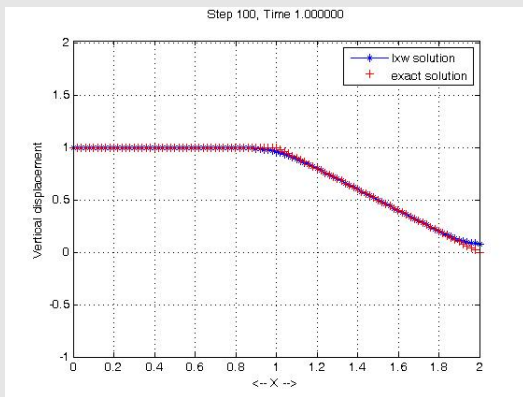
$$\frac{u_j^{n+1} - u_j^n}{\tau} + a \frac{u_{j+1}^n - u_j^n}{h} = 0$$



$$\frac{u_j^{n+1} - u_j^n}{\tau} + a \frac{u_{j+1}^n - u_{j-1}^n}{2h} = 0$$



$$\frac{u_j^{n+1} - \frac{1}{2}(u_{j+1}^n + u_{j-1}^n)}{\tau} + a \frac{u_{j+1}^n - u_{j-1}^n}{2h} = 0$$



$$\frac{u_j^{n+1} - u_j^n}{\tau} + a \frac{u_{j+1}^n - u_{j-1}^n}{2h} = \frac{h}{2} a \frac{u_{j+1}^n - 2u_j^n + u_{j-1}^n}{h^2}$$

稳定性分析

Fourier 分析: 将 $u_{j+m}^{n+q} = v_{n+q} e^{i\alpha(x_j+mh)}$ 代入 (见 (25))

$$u_j^{n+1} = ru_{j-1}^n + (1-r)u_j^n$$

可得

$$v_{n+1} e^{i\alpha x_j} = (r e^{i\alpha(x_j-h)} + (1-r) e^{i\alpha x_j}) v_n$$

\Rightarrow

$$v_{n+1} = (r e^{-i\alpha h} + (1-r)) v_n$$

由此求得该格式的增长因子, 再由 Von Neumann 条件可知: 差分格式 (25) 稳定的充要条件是

$$|r e^{-i\alpha h} + (1-r)| \leq 1 \Leftrightarrow |r e^{-i\alpha h} + (1-r)|^2 \leq 1$$

\Leftrightarrow

$$|r(\cos \alpha h - 1) + 1 - ir \sin \alpha h|^2 \leq 1$$

 \Leftrightarrow

$$[r(\cos \alpha h - 1) + 1]^2 + r^2 \sin^2 \alpha h \leq 1$$

 \Leftrightarrow

$$r^2(\cos \alpha h - 1)^2 + 2r(\cos \alpha h - 1) + r^2 \sin^2 \alpha h \leq 0$$

 \Leftrightarrow

$$2r^2 - 2r^2 \cos \alpha h + 2r(\cos \alpha h - 1) \leq 0$$

 \Leftrightarrow

$$(r^2 - r)(1 - \cos \alpha h) \leq 0$$

 \Leftrightarrow

$$r^2 \leq r \Leftrightarrow a^2 \frac{\tau^2}{h^2} \leq a \frac{\tau}{h}$$

 \Leftrightarrow

$$a \geq 0, \quad |r| = a \frac{\tau}{h} \leq 1 \quad (39)$$

类似分析可知:

格式 (26) 稳定的充要条件是:

$$a \leq 0, \quad |r| = -a \frac{\tau}{h} \leq 1 \quad (40)$$

格式 (27) 对一切 $r \neq 0$ 均不稳定.

由此可得如下**结论**: 当 $a \geq 0$ 时只有 (25) 可用, 当 $a \leq 0$ 时只有 (26) 可用.

习题 1 导出格式 (26) 和格式 (27) 的稳定条件.

类似的, 由 Fourier 分析可知:

Lax-Friedrichs 格式稳定性条件是:

$$|a| \frac{\tau}{h} \leq 1$$

Box 格式是无条件稳定的

Lax-wendroff 格式稳定性条件为

$$|a| \frac{\tau}{h} \leq 1.$$